

ÇİFT BAZLI KATI ROKET YAKITININ EKSTRÜZYON İŞLEMİYLE ŞEKİLLENDİRİRMESİNİN SONLU ELEMAN METODUYLA MODELLENMESİ

Başar KALAYCIOĞLU, M. Hüsnü DİRİKOLU, Veli ÇELİK

Kırıkkale Üniversitesi, Mühendislik Fakültesi, Makine Mühendisliği Bölümü, 71450/Kırıkkale

Geliş Tarihi: 02.06.2006

ÖZET

Bu çalışmada çift bazlı katı roket yakıtlarının üretimlerinde önemli bir aşamayı oluşturan ekstrüzyonla şekillendirme safhasının, Ansys® sonlu eleman benzetim paketi yardımıyla 3-boyutta modellemesi gerçekleştirilmiştir. Direkt ekstrüzyona tabi tutulan katı yakıtın mekanik davranışını, temel modeli oluşturmak ve sonradan gerçekleştirilecek elastoviskoplastik modellemeyle karşılaştırma yapmak üzere elastik-plastik şeklinde alınmıştır. Coulomb sürtünmeli kontakt yüzeyleri, doğrusal olmayan geometrik ve malzeme davranışları ele alınan modelde, büyük şekil değiştirmeler adımsal bir çözüm yaklaşımıyla hesaplanmıştır. Simülasyon yardımıyla ekstrüzyon sırasında katı yakitta oluşan hidrostatik basınc, gerilme, gerinim ve yer değiştirme değerleri belirlenmiştir.

Anahtar Kelimeler : Çift bazlı katı roket yakıtı, Direkt ekstrüzyon, Sonlu eleman metodu, Elastik-plastik.

EXTRUSION FORMING OF A DOUBLE BASE SOLID ROCKET PROPELLANT BY FINITE ELEMENT METHOD

ABSTRACT

In this study, three dimensional modelling of extrusion forming of a double base solid rocket propellant is performed on Ansys® finite element simulation package. For the purpose of initial model construction and later comparisons with elastoviscoplastic model, the solid propellant is assumed to obey the elastic-plastic material response during the direct extrusion process. Taking into account the contact surface behavior with Coulomb friction and geometric and material nonlinearities, an incremental large strain solution methodology has been adapted in the simulation. The hydrostatic pressure, stress, strain, and displacement values during extrusion of the solid rocket propellant are obtained from the simulation.

Key Words : Double base solid rocket propellant, Direct extrusion, Finite element method, Elastic-plastic.

1. GİRİŞ

Katı yakıtların tasarım ve üretim teknolojileri ülkeler için önem arz eden bir konudur. Bu çalışmada roket yakıtının tasarım ve üretiminin önemli bir safhası olan şekillendirme aşamasının bilgisayar yardımıyla modellenmesi amaçlanmıştır. Yakıtın

şekillendirilmesi sırasında karşılaşılabilen sorunların önceden fark edilmesine ve çeşitli çaplarda üretimi için tasarım esnekliğine olanak tanımı açısından bilgisayar yardımıyla modelleme yöntemi tercih edilmiştir. Bilgisayarla modelleme yöntemleri arasında ısı analizleri için Sonlu Farklar Metodu (Finite Difference Method-SFM), ısı ve yapı analizi için Sonlu Elemanlar Metodu (Finite Element

Method-SEM) Clough (1960) ve ısı, akustik, elektromanyetik ve akişkanlar mekaniği için Sınır Eleman Metodu (Boundary Element Method-BEM) sayılabilir. Bu çalışmada, şekillendirme işlemi söz konusu olduğundan, SEM kullanılmıştır. Bu yöntem, maliyet ve verimlilik açısından uygun değer hedeflere ulaşımada son zamanlarda kullanılan en önemli tasarım yaklaşımlarından biri olarak karşımıza çıkmaktadır.

Katı yakıtların şekillendirilmesiyle ilgili olarak, Jana ve Arkadaşları (1987) katı yakıt taneciklerinin basınç değişimi ile hacim değişimine direnci ifade eden bulk modülü (K) arasındaki ilişkisi hem doğrusal olmayan hem de doğrusal SEM'deki analizi yapılmış ve doğrusal olmayan analizin, deneysel sonuçlara uygunluk açısından gerekliliğini ortaya koymuşlardır. Herder ve Arkadaşları 2003 ise, zamanla değişim gösteren burulma, basma ve çekme yükleri altında sıcaklık-elastisite modülü ve yine sıcaklık-kayma modülü arasındaki ilişkileri irdelemiştir. Jones ve Pierre-Louis (1985), şekil değiştirmenin zaman ve sıcaklığa bağlı olarak değiştiği roket yakıtında yüksek basınçındaki soğuma sırasında meydana gelen gerilme ve şekil değiştirmenin hesaplanması ADINA® SEM paket programı yardımıyla deney sonuçlarına yakın seviyede hesaplayabilmışlardır. Townend and Warren (1985), çift bazlı katı yakıtın gevşeme davranışını, yakıt içeriğinde bulunan nitrogliserin oranını değiştirerek irdelemiştir. Renganathan ve arkadaşları (1994), HTPB (Hydroxyl terminated polybutadiene) esaslı katı yakıtın, 15 dak⁻¹ ile 0.015 dak⁻¹ arasında değişen çekme hızı yüklemeleri altındaki kırılma diyagramını elde etmiştir. Borovkov ve Shevchenko (2002), titanyum malzemesinin sıcak ekstrüzyon işlemini, doğrusal olmayan SEM yardımıyla bilgisayar ortamında modellemiştir. Bu çalışmalar SEM'in ekstrüzyon ve roket yakıtı analizlerinde dünyada etkin bir şekilde kullanılabilğini göstermekte kalmayıp, fizikal açıdan üretiminin yönlendirdiğini de ortaya koymaktadır.

2. TEORİ

Bu çalışmada özet kısmında ifade edildiği gibi direkt ekstrüzyona tabi tutulan katı yakıtın mekanik davranışını, temel modeli oluşturmak ve sonradan yapılacak elasto-viskoplastik modellemeye karşılaştırma yapmak üzere elastik-plastik şeklinde alınmıştır.

Elastik-plastik analizde, sonsuz küçük bir şekil değiştirmenin elastik bileşeni $d\varepsilon^e$ ve plastik bileşeni

ise $d\varepsilon^p$ ile gösterilir. Dolayısıyla toplam şekil değiştirme,

$$d\varepsilon^{Toplam} = d\varepsilon^e + d\varepsilon^p \quad (1)$$

şeklinde bulunur. Şekil değiştirme hali elastik bölgede olduğunda $d\varepsilon^e$ Hooke bağıntılarıyla, plastik bölgede olduğunda ise $d\varepsilon^e$ 'nin yanında $d\varepsilon^p$ miktarı Prandtl-Reuss akış bağıntıları yardımıyla hesaplanır (Johnson ve Mellor, 1983). Von Mises akma kuralı hesaba katıldığında, Prandtl-Reuss bağıntılarının plastik kısmı aşağıdaki hali alır.

$$\begin{aligned} d\varepsilon_1^p &= \frac{\bar{d\varepsilon}}{\bar{\sigma}} \left[\sigma_1 - \frac{1}{2}(\sigma_2 + \sigma_3) \right]; \\ d\varepsilon_2^p &= \frac{\bar{d\varepsilon}}{\bar{\sigma}} \left[\sigma_2 - \frac{1}{2}(\sigma_3 + \sigma_1) \right]; \\ d\varepsilon_3^p &= \frac{\bar{d\varepsilon}}{\bar{\sigma}} \left[\sigma_3 - \frac{1}{2}(\sigma_1 + \sigma_2) \right] \end{aligned} \quad (2)$$

Bu denklemlerde;

$$\bar{\sigma} = \frac{1}{\sqrt{2}} \sqrt{(\sigma_1 - \sigma_2)^2 + (\sigma_2 - \sigma_3)^2 + (\sigma_3 - \sigma_1)^2} \quad \text{ve}$$
$$\bar{d\varepsilon} = \sqrt{\frac{2}{3} ((d\varepsilon_1)^2 + (d\varepsilon_2)^2 + (d\varepsilon_3)^2)} \quad \text{sırasıyla von}$$

Mises etken gerilme ve etken adımsal şekil değiştirmeyi ifade etmektedir. Holloman tipi deneylere bağımlı gerilme-şekil değiştirme bağıntısı;

$$\bar{\sigma} = K(\bar{\varepsilon})^n \quad (3)$$

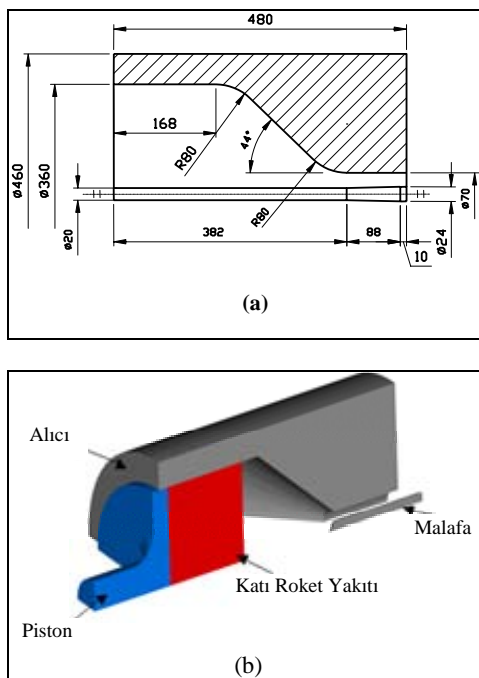
veya bu bağıntının çoklu doğrusal hali ile plastik bölgede hacmin değişmezliğini (Poisson oranı, $\nu = 0.5$) ifade eden $d\varepsilon_1 + d\varepsilon_2 + d\varepsilon_3 = 0$ bağıntısı yardımıyla malzemelerin plastik bölgede maruz kaldığı gerilme ve şekil değiştirme adımı yaklaşık olarak hesaplanabilmektedir. (3) ifadesinde K mukavemet katsayısını ve n ise pekleşme endeksinini ifade eder. Elastik şekil değiştirme bileşeni olan $d\varepsilon^e$ ihmali edildiği taktirde, yukarıda (1) ve (2)'de verilen Prandtl-Reuss akış bağıntıları Levy-Mises akış bağıntıları adını almaktadır. Plastik şekil değiştirmede sırasında olası Kontakt yüzeyleri Coulomb sürtünme modeli,

$$\tau_f = \mu \sigma_n \quad (4)$$

yardımıyla hesaba katılabilir. (4) bağıntısında, τ_f sürtünme gerilmesini, σ_n normal gerilmeyi ve μ sürtünme katsayısını göstermektedir. Plastik şekillendirmede ortaya çıkan doğrusal olmayan geometrik ve malzeme davranışları ise adımsal çözüm yaklaşımıyla hesaba katılır. Bu bölümde verilen temel elastik-plastik analizin sonlu eleman metoduna uygulanma biçimini geniş bir biçimde literatürde bulunmaktadır (Bathe, 1995).

3. EKSTRÜZYON MODELİ

Katı yakıt ekstrüzyon kalıbı ve işlem modeli, Şekil 1a ve 1b'de gösterilmektedir.



Şekil 1. Katı yakıt ekstrüzyon kalıbı (a) ve ekstrüzyon işlemi (b).

Alicı ve malafa, çelik malzemeden olup özelliklerini Tablo 1'de gösterilmiştir.

İkinci malzeme katı yakıt olup, ekstrüzyonu 74 °C'de gerçekleştirilmektedir. Katı yakıt için bu sıcaklığıtaki mekanik ve fiziksel özellikler Tablo 2'de verilmiştir.

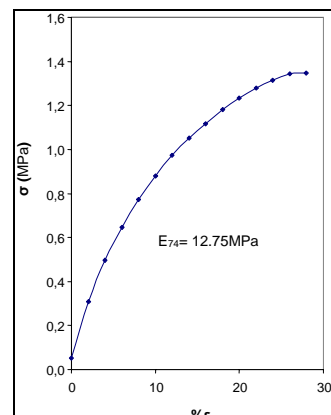
Tablo 1. Alicı ve Malafa Malzemesinin Mekanik Özellikleri.

Malzeme	Elastisite Modülü, E (GPa)	Poisson oranı, ν
Çelik	200	0.3

Tablo 2. Katı Yakıtın 74 °C'deki Mekanik ve Fiziksel Özellikleri.

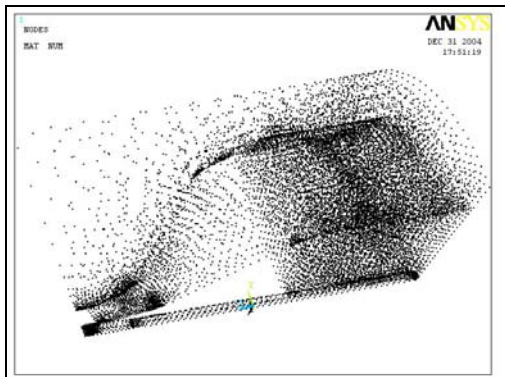
Yoğunluk (gr/cm³)	1.66
Viskozite, η (Pa-s)	7570
Alevlenme sıcaklığı (°C)	165-180
Patlama basıncı (Bar)	140
Şekil değiştirme hızı hassasiyet faktörü, m	0.4
Elastisite modülü (MPa)	12.75
Poisson oranı (Shiang-Woei Chyuan, 2003)	0.49997

Tablo 2'de belirli bir şekil değiştirme ve şekil değiştirme hızında malzemede pekleşmenin yanında yumuşama olasılığını hesaba katan Perzyna elasto viscoplastik modelleme (Perzyna, 1966), (Carter and Warren, 1987) için gerekli malzeme özellikleri de verilmiştir. Ansys® (Ansys Theory Manual 6.) paket programında, elastik plastik model tetiklemesi, doğrusal olmayan malzeme durumu için çoklu doğrusal pekleşme seçeneği (MISO, Multi Lineer Isotropic Hardening) ve katı yakıta ait +74°C'deki gerilme-şekil değiştirme verileri girilerek sağlanmıştır. Büyük şekil değişimleri ve dönmelerden kaynaklanan doğrusal olmayan geometrik hal için "NLGEOM, ON" (Nonlinear Geometry, On) seçeneği devreye alınmıştır. Şekil 2'de, laboratuarda katı yakıt çekme numunelerinin çekme cihazında 74°C'de ASTM D638-64T standartına göre (ASTM 1964) test edilmesi sonucu elde edilmiş gerilme-şekil değiştirme eğrisi gösterilmektedir.

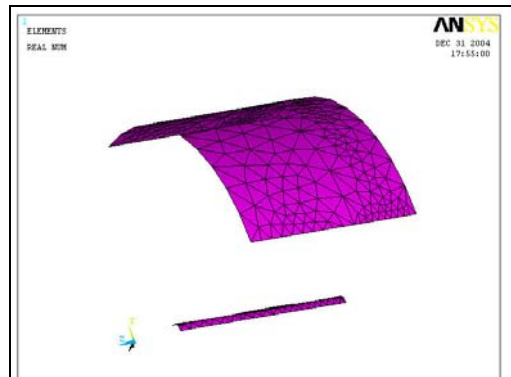


Şekil 2. Katı yakıtın 74 °C sıcaklığındaki σ-ε eğrisi.

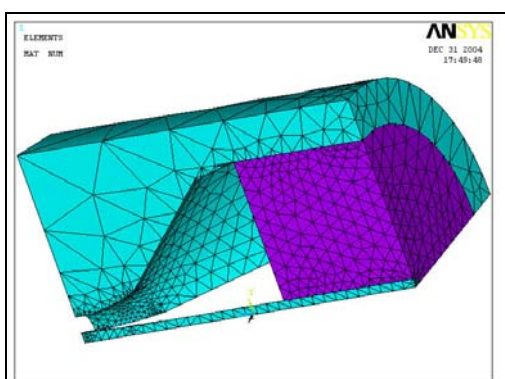
Modellerde kullanılan eleman, 3 boyutlu 20 düğümlü termal ve yapı analizi özellikli SOLID95 olup, oluşturulan hacmin SOLID95 elemanlarına ve düğümlerine bölünmüş hali Şekil 3 ve 4'de verilmiştir. Bu çeyrek modelde toplam 10441 eleman ile 21556 düğüm bulunmaktadır. Katı yakıtın tam modeli, 26000 adet SOLID95 elemanından ve 40552 düğümden oluşmaktadır.



Şekil 3. Model düğümleri.

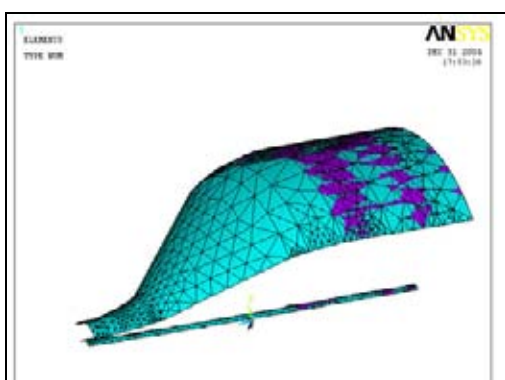


Şekil 6. Katı yakıtın kontakt elemanları.



Şekil 4. Model elemanları.

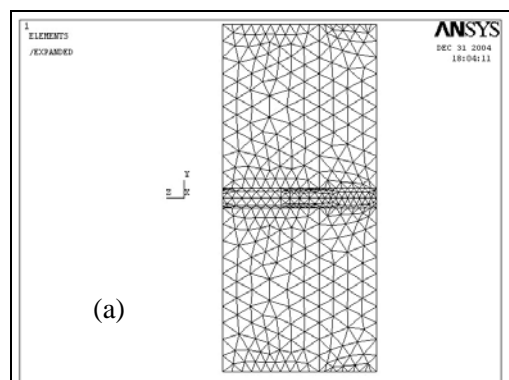
SEM modellemesinde sürtünme durumu modelin gerçekleştirdiği açısından oldukça önemlidir. Ansys programında kontakt yüzeylerini tanımlama ve buradaki sürtünme katsayısını girme, Kontakt yüzey-Hedef yüzey (Contact surface-Target surface scheme) olarak adlandırılan bir algoritmayla gerçekleştirilmektedir. Sürtünme katsayısı çelik/plastik malzeme durumu için ve yakıtın sabunlanması yağılanması da göz önünde tutularak $\mu=0.01$ alınmıştır (Michael, 2001). Sözü edilen algoritmayla elde edilen kontakt yüzey elemanları (CONTA174 ve TARGET170) Şekil 5 ve Şekil 6'da (toplam 555 adet) gösterilmiştir.



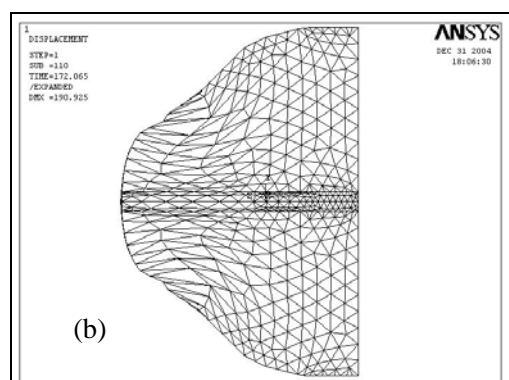
Şekil 5. Kalıp ve malafadaki kontakt elemanları.

4. ANALİZ SONUÇLARI

Çözümün elde edilme süresi, 400 yük adımı ve Pentium IV 3.0 GHz işlemci, 2000 MB DDR-400MHz RAM 80GB harddisk'e sahip bir kişisel bilgisayar için 16470 saniye olmuştur. Yük adım sayısı 400'un üzerinde bir değerde alındığında, buna paralel olarak çözüm zamanı da artmaktadır. Şekil 7'a ilk hali verilmiş katı yakıt malzemesinin ekstrüzyon işlemi benzetimi sırasında elde edilen malzeme akışı, Şekil 7b'de gösterilmektedir.



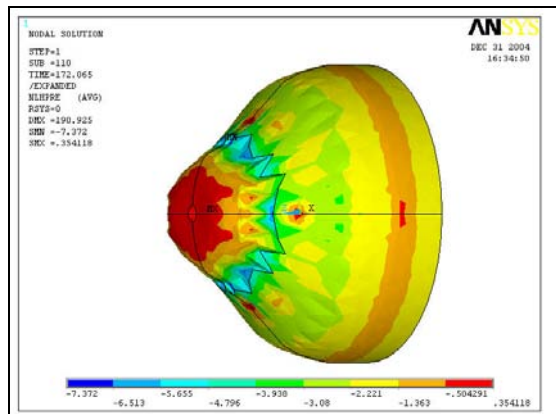
(a)



(b)

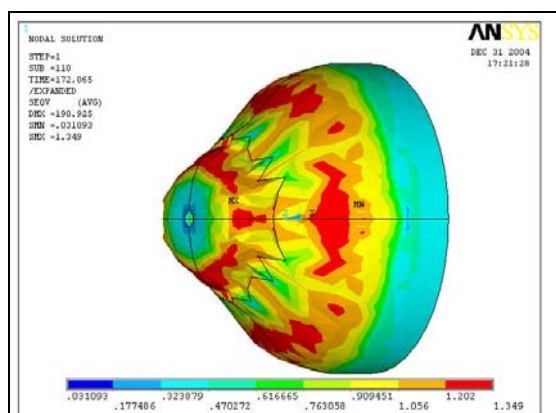
Şekil 7. Yakıtın deformasyona uğramadan önceki (a) ve sonraki görünümü (b).

Hidrostatik basınç, şekil değişimini meydana getiren kayma gerilmelerinin olmadığı durum ve üç yöndeki asal gerilmelerin toplamının ortalaması olarak hesaplanır. Hidrostatik basınç sadece hacim değişimiyle, diğer bir ifadeyle malzemenin sıkıştırılabilirliğiyle ilgili olan değerlerdir. Çözümün sonlandığı benzetim adımında yakıt üzerindeki hidrostatik basıncın en büyük değerinin -7.372 MPa (= -73.72 Bar) olduğu Şekil 8'den görülebilmektedir.



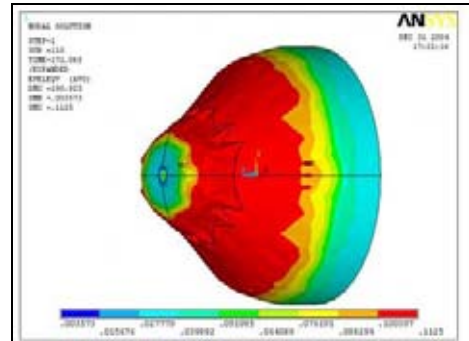
Şekil 8. Modelde oluşan Hidrostatik Basınç gerilmeleri.

Yakittaki Von Mises efektif gerilmeleri Şekil 9'da verilmiş olup, yakıtın konik kısmında 1.349 MPa'lık maksimum değerle plastik bölgeye geçiş yaptığı görülmektedir.

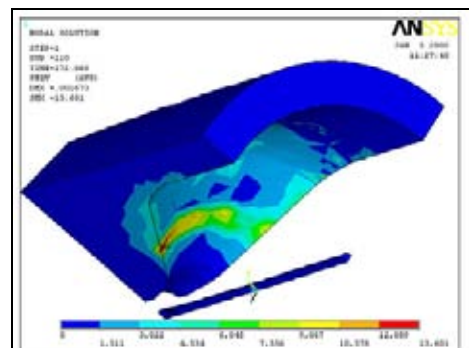


Şekil 9. Yakıtta oluşan von Mises gerilmeleri

Plastik bölgeye geçiş sırasında oluşan Von Mises şekil değiştirmeleri Şekil 10'da gösterilmiştir. Von Mises gerilmeleri daha önce Şekil 9'da verilen konik kısmında, plastik bölgeye geçişin 0.1125 mm/mm'lik maksimum şekil değiştirme değeriyle yüzeyde tamamlandığı, Şekil 10'da daha net görülebilmektedir.



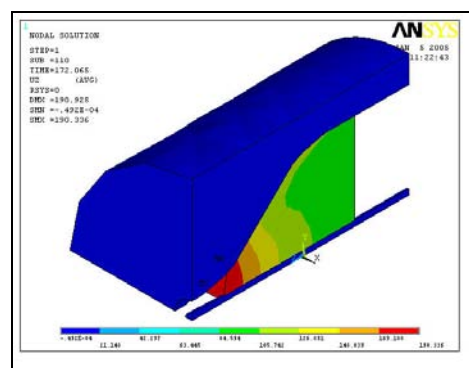
Şekil 10. Yakıtta oluşan von Mises şekil değiştirmeleri



Şekil 11. Alıcı ve malafada oluşan von Mises gerilmeleri.

Alıcı ve malafa sistemi için Von Mises efektif gerilmeleri Şekil 11'da gösterilmiştir. Hacmin daraldığı kısmında maksimum 13.601 MPa gerilme değeri hesaplanmıştır. Bu değer herhangi bir çelik malzemenin akma mukavemetinin altında olduğundan, alıcının elastik bölgede kaldığı görülebilmektedir.

Yakıtın, malafa doğrultusundaki yer değiştirmesi Şekil 12'de verilmiştir. Sınır koşulu olan 250 mm'lik yakıt yer değiştirmesi ile başlanan analiz neticesinde ancak 190.336 mm'lik nihai yer değiştirmeye elde edilebilmiştir.



Şekil 12. Malafa doğrultusundaki yakıt yer değiştirmeleri.

Analizler sırasında çözümün tamamlanamadığı ve yakıt ağının kontakt algoritmasının sınırlayıcı parametre değerlerini aşıp, alıcının ağına daldığı durumlara da rastlanmıştır. Bu ancak SEM analizi çerçevesinde ortaya çıkabilecek bir sonuçtur. Elastik plastik malzeme modelinin katı yakıt için yetersizlik teşkil ettiğinin göstergesi olan bu nedene ilaveten, modelin yakıt ve alıcı arasında Poisson etkisini hesaba katacak kadar bir aralığın bırakılmaması da neden olmuştur. Pratikte ancak tecrübeye dayanarak elde edileBILECEK bu sonuca SEM analiziyle böylece ulaşılmıştır.

5. TARTIŞMA VE SONUÇ

Bu çalışmada, karmaşık bir doğaya sahip katı yakıt ekstrüzyon şekillendirmesi bilgisayar ortamında modellenmiştir. Bilgisayar modelleme aracı olarak SEM seçilmiş olup, paket programı olarak Ansys® kullanılmıştır. SEM modeli, katı yakıt, alıcı (kalıp) ve malafadan olmak üzere 3 parçadan oluşmaktadır. Hesaplama zamanı açısından ve modelin elverişli olmasından dolayı çeyrek model kullanılmıştır. Modelin geometrik ölçütleri ve sonlu eleman tipine ait bilgiler modelleme bölümünde verilmiştir. Kullanılan Ansys paket programında yapılan elastik plastik doğrusal olmayan benzetim sonucunda katı yakıtın ekstrüzyon şekillendirmesine ait nihai olmayan, hidrostatik basınç, gerilme, şekil değiştirme ve yerdeğiştirme değerleri elde edilebilmiştir. Çalışmanın başlangıcında amaçlanan temel benzetim modeli oluşturulmuştur. Ayrıca elastik-plastik modelin katı yakıt malzemesini ekstrüzyon sırasında ancak sınırlı oranda modelleyebildiği ve bundan sonraki adımda elastoviskoplastik malzeme modelinin uygulanması gerekiği sonucuna varılmıştır.

6. TEŞEKKÜR

Devam eden bu çalışma, DPT Araştırma Projesi (2003K120770) kapsamında yürütülmektedir. MKE Elroksan A.Ş.'ye teknik ve DPT'ye mali desteğinden dolayı teşekkür ederiz.

7. SİMGELER DİZİNİ

E	Elastisite modülü
ε	Gerinim
$\varepsilon_x, \varepsilon_y$	X ve Y yönlerindeki gerinimler
$d\varepsilon$	Sonsuz küçük gerinim

$d\bar{\varepsilon}$	Sonsuz küçük efektif gerinim
$d\varepsilon^p$	Plastik bölgede sonsuz küçük gerinim
σ_n	Normal gerilme
$\bar{\sigma}$	Efektif gerilme
$\sigma_1, \sigma_2, \sigma_3$	Asal gerilmeler
v	Poisson oranı
τ_F	Sürtünme gerilmesi
μ	Sürtünme katsayısı
K	Mukavemet katsayısı
n	Pekleşme katsayısı

8. KAYNAKLAR

Anonymous, 1964. Tentative Method of Test for Tensile Properties of Plastics, ASTM, Issued 1964.

Ansys Theory Manual for Release 6.

Bathe K. J. 1995. Finite Element Procedures, Prentice-Hall, Englewood Cliffs.

Borovkov A.I., Shevchenko D.V. 2002. Non-linear finite element modeling of the titanium briquettes hot extrusion process. Proc. 10th Int. ANSYS'2002 Conf. "Simulation: Leading Design into the New Millennium". Pittsburgh. USA.. 7 p

Carter R.E. and Warren R.C. 1987. Extrusion stresses, Die Swell, and Viscous Heating Effects in Double Base Propellants, Journal of Rheology, V 31 (2), p. 151-173.

Clough R.W., 1960. The Finite Element in Plane Stress Analysis, Proc. 2nd ASCE Conf. On Electronic Computation, Pitsburg, PA.

Herder, G., Weterings F. P. and de Klerk, W.P.C., 2003. Mechanical Analysis on Rocket Propellant, Journal of Thermal Analysis and Calorimetry, V. 72, pp. 921-929.

Irving W. Jones, E. Pierre-Louis, 1985. A linear thermoviscoelastic material model for solid rocket motor structural analyses, Computers & Structures, V. 21, pp. 235-243.

Townend D.J., Warren R.C., 1985. Relaxation in Double Base Propellants, V. 26, pp 79-83.

Jana, M. K., Renganathan K. and Venkateswara Rao G. 1987. Effect of bulk modulus variation with

pressure in propellant grain elastic stress analysis, Computers & Structures, V. 26, pp. 761-766.

Jana M.K., Renganathan K. and Venkateswara Rao G. 1994. A method of non-linear viscoelastic analysis of solid propellant grains for pressure load, Computers & Structures, V. 52, pp. 61-67.

Johnson, W., Mellor P. B. 1983. Engineering Plasticity, E. Horwood Ltd.

Michael, J. N. (Editör). 2001. The Tribology Handbook, 2nd Ed., Butterworth-Heinemann.

Perzyna, P. 1966. Fundamental problems in viscoplasticity. Advances in Applied Mechanics, vol. 9. Academic Press, New York, p. 243-377.

Shiang-Woei Chyuan, 2003. Studies Of Poisson's Ratio Variation For Solid Propellant Grains Under Ignition Pressure Loading, International Journal of Pressure Vessels and Piping 80, pp. 871-877.
